

# تولد منخفضات العروض الوسطي في صور الأقمار الصناعية



## أنواعها - 2

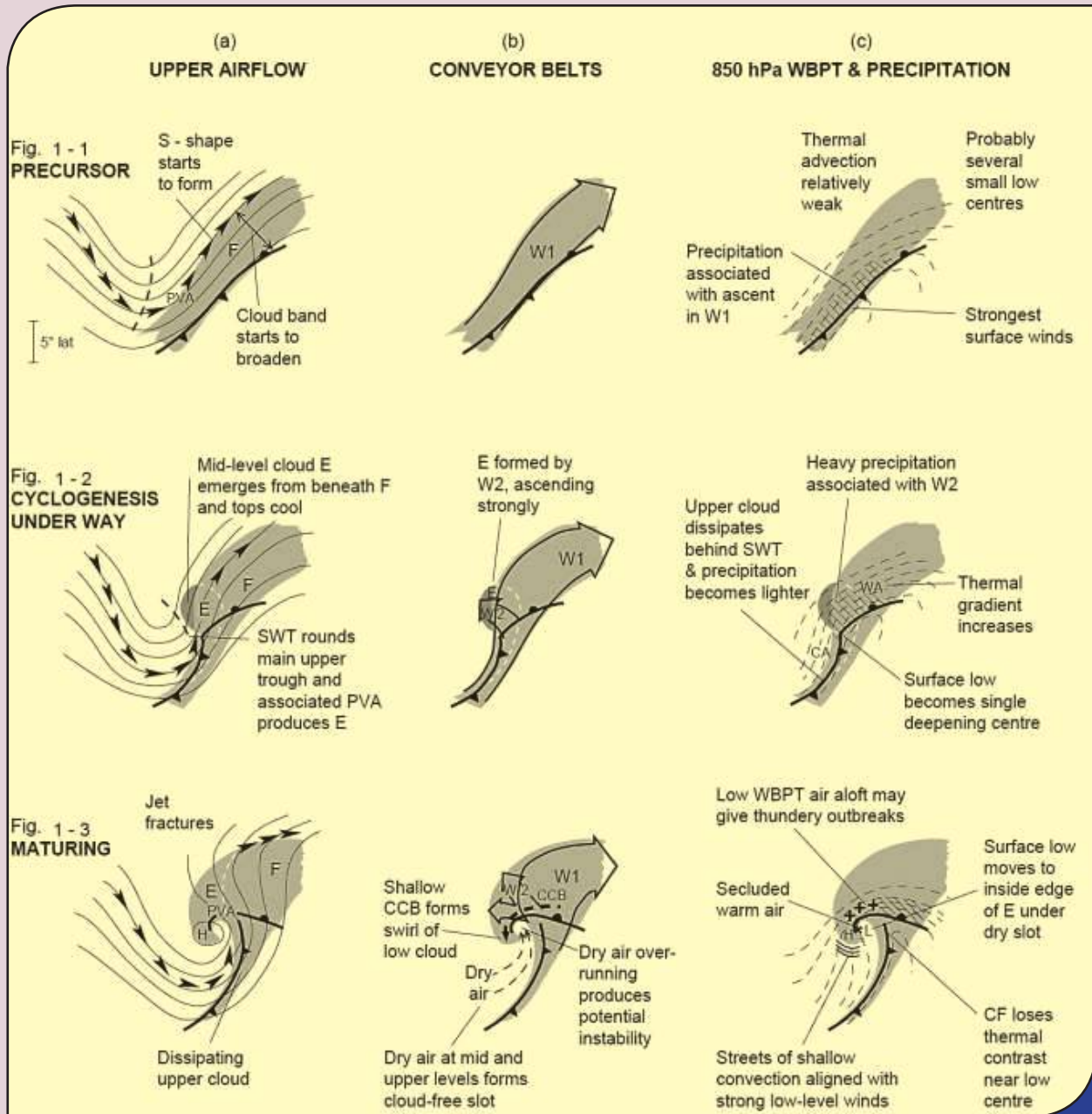
د. عبدالله عبدالرحمن عبدالله  
مدير عام الإدارة العامة لتدريب الفنيين على الرصد الجوي  
المراجعة العلمية: د. كمال فهمي

استعرضنا في المقالة السابقة أنواع المنخفضات المتكونة في العروض الوسطى وإمكانية التنبؤ بها من خلال ملاحظتنا لأنماط السحب من صور الأقمار الصناعية، وناقشنا التصور الأولي لتقسيم «مكلينن ونيل» (1988) (McLennan and Neil) وتطويره عن طريق «يونج» (1993) (Young) بتقسيم أنواع تولد المنخفضات عن طريق السحب الركامية الشديدة أو سحب الكما (enhanced Cu or comma clouds):

التطور عن طريق حزمة السحب الرئيسية للجبهة  
Main frontal cloud band  
يتولد هذا النوع من المنخفضات في أماكن تطور حزمة  
السحب الأساسية المصاحبة للجبهة الباردة.  
أ- تولد المنخفضات في الامتداد الرأسي للترف  
«Meridional trough cyclogenesis»  
يتشكل هذا النوع من المنخفضات بظهور حزمة  
السحب الرئيسية «F» في التيارات الصاعدة على  
يمين الترف، وتبدأ في أخذ شكل حرف «S» مصاحبة  
لتيار هوائي نفاث، (شكل 1 - 1). تظهر سحب متوسطه  
الارتفاع «E» من أسفل السحابة «F» عند نقطة انحنائها  
من منتصفها تقريباً، يكون ذلك مصاحباً لظهور موجه  
قصيرة من الترف مع نشوء حركة دوامية موجبة «PVA»  
صاعد، وتبرد قمة تلك السحابة شيئاً فشيئاً أثناء نموها  
وازدیاد ارتفاعها، (شكل 1 - 2). تندمج السحابة «E» مع  
السحابة «F» في المستويات العليا مع ازدياد الحركة

■ في الهواء البارد العلوي Cold Air.  
■ بالاطباق الفوري Instant Occlusion.  
■ بانقسام التدفق العلوي Split flow.  
في تلك المقالة سوف نستكمل تصور «مكلينن  
ونيل» وتطويره عن طريق «يونج» في تقسيم أنواع تولد  
المنخفضات عن طريق حزمة السحب الرئيسية للجبهة  
Main frontal cloud band، سنستعرض النوعين  
التاليين:  
■ في الامتداد الرأسي للترف meridional trough  
الترف المفلطح، التدفق المتشتمت  
Flat trough, diffluent flow  
على أن نستكمل النوعين الأخيرين في المقالة  
القادمة ان شاء الله، وهم:  
■ الموجه المحفزة لتولد المنخفضات induced wave  
■ الحوض المفلطح، التدفق المتجمع  
(Flat trough, confluent flow (cloud head

الدوامية الموجبة «PVA» مع امتداد رأسى للترف الرئيسي، مع ملاحظة أن كل تلك السحب والدوامات الموجبة والتيارات النفاثة المصاحبة لتلك الحالة تكون على يمين الترف العلوي. (شكل 1 - 3).



(شكل 1 - 1): مخطط لتولد منخفضات العروض الوسطى في الامتداد الرأسى للترف .

(a) نمط التدفق العلوي على 300 هـ.ب ومخطط السحاب الرئيسي للجبهة كما هو ظاهر على صور الأشعة تحت الحمراء IR .

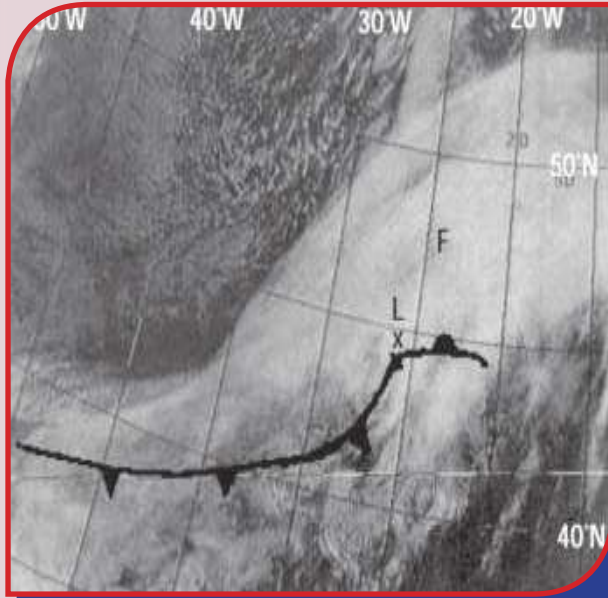
(b) نموذج للتدفق الهوائي عن طريق الحزام الهوائي النقال  $W_1$  &  $W_2$  .

(c) خطوط  $O_w$  على 850 هـ.ب وأماكن هطول الأمطار. شكل 1 - 1 مرحلة ما قبل تكون المنخفض. شكل 1 - 2 مرحلة أثناء تكون المنخفض. شكل 1 - 3 مرحلة تطور المنخفض.

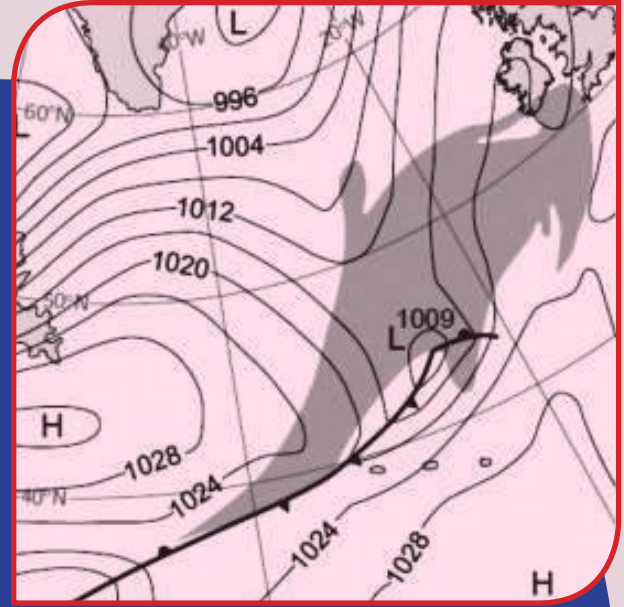
### مثال 1:

الحزام النقال  $W_1$  أو بتطور جزء من الحزام النقال  $W_1$  نفسه. كما نلاحظ في مرحلتى التعمق والتطور وجود حركة صاعدة قريبة جداً من السحابة -E-، (أشكال d - 3 - d - 4). هذه الحركة الصاعدة سببها الأساسى هو وجود الحركة الدوامية الموجبة أمام الترف العلوى الحاد، أشكال (b-2) - (b-4) وأيضاً الغزو الهوائى الدافئ «WA» أشكال (b-3) - (b-4).

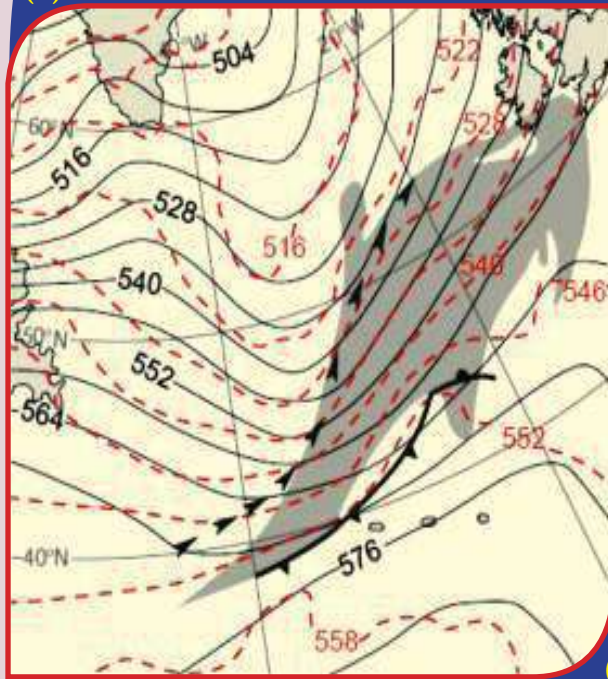
هذا المثال يوضح مخرجات التنبؤات العددية وتتابع صور الأقمار الصناعية وخرائط تمتد لـ 30 ساعة أثناء تعمق المنخفض بحوالى 27 هـ.ب.، (أشكال 2، 3، 4). تلك الحالة توضح ماتم الاشارة اليه فى الرسم التوضيحي (شكل 1). تتولد السحابة «E» من الحزام النقال  $W_2$  ويمكن أن يتكون هذا الحزام النقال  $W_2$  إما منفصلاً عن ومن أسفل



(a)



(c)



(b)

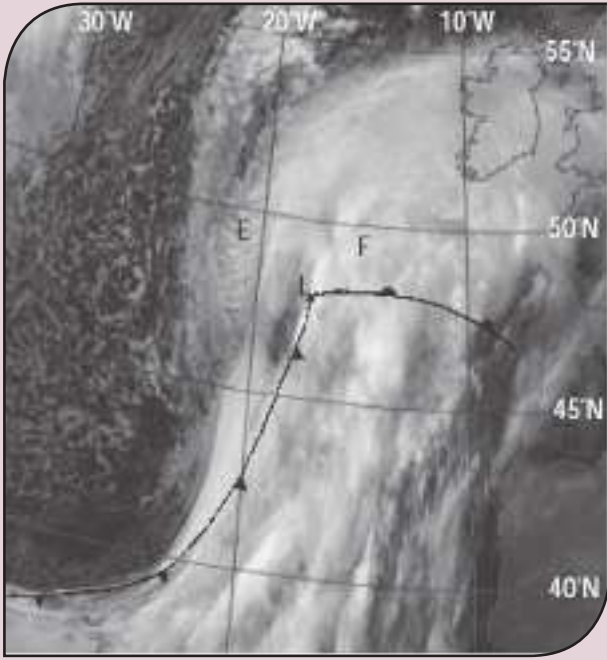
شكل 2:

(a) صورة الأشعة تحت الحمراء من NOAA ساعة 21:47 ت.ع ليوم 17 يناير 1988. F هي السحابة الرئيسية للجبهة.

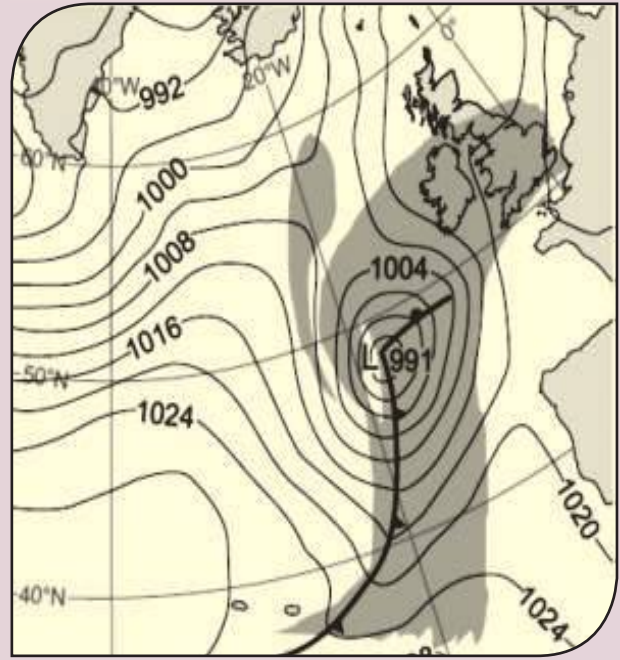
(b) خريطة طبقات الجو العليا فى نفس التوقيت. يتضح فيها خطوط الارتفاعات 500 هـ.ب. (خطوط سوداء متصلة بوحدة gpm). خطوط سمك الطبقة من 500-1000 هـ.ب. (خطوط حمراء متقطعة، بوحدة gpm) ومحور التيار الهوائى النفث (أسهم سوداء).

(c) تحليل خطوط تساوى الضغط السطحيه، بوحدة هـ.ب. فى نفس التوقيت.

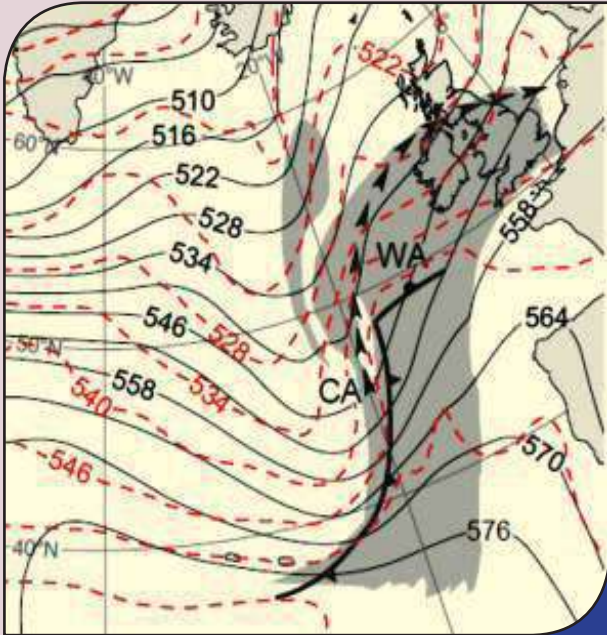




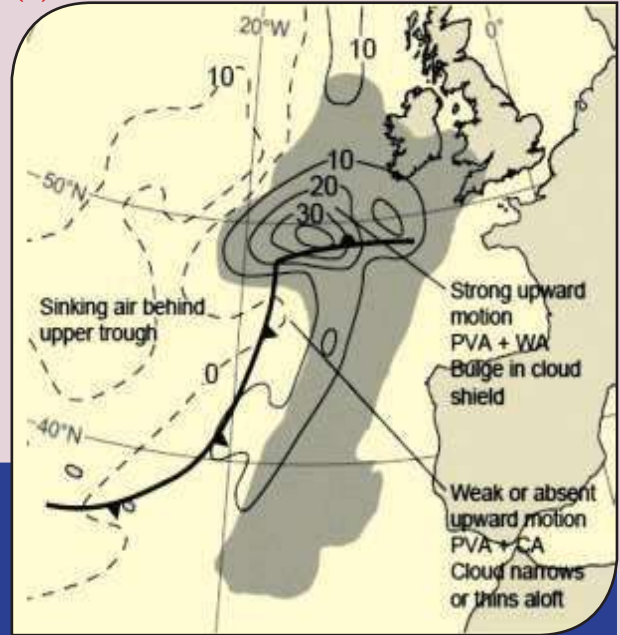
(a)



(c)



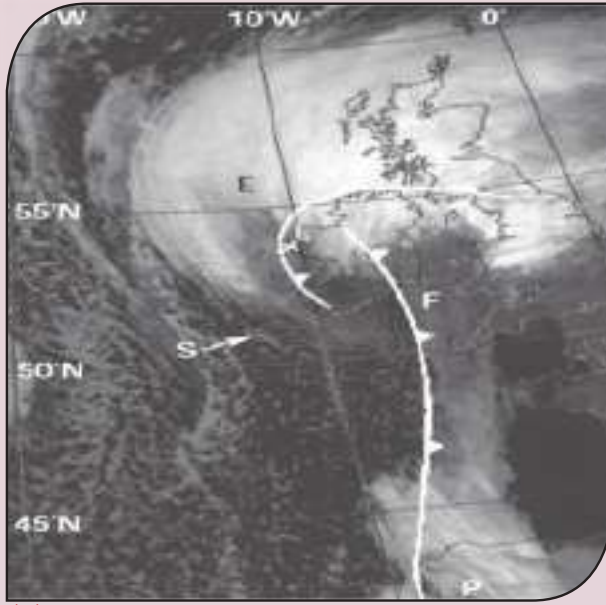
(b)



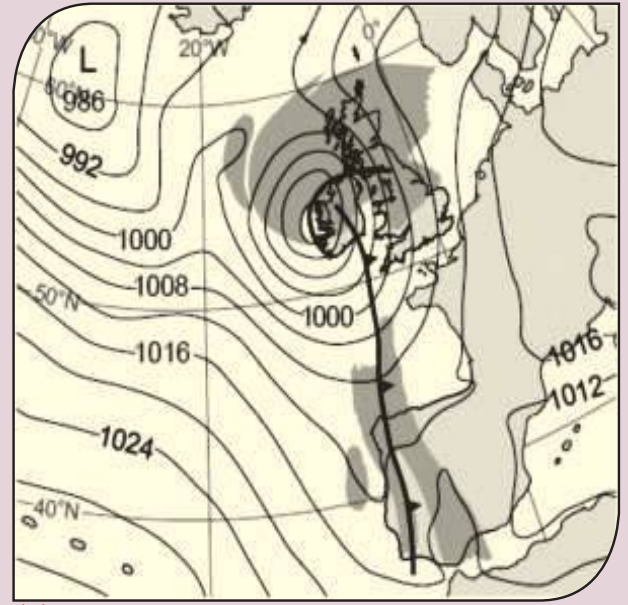
(d)

شكل -3:

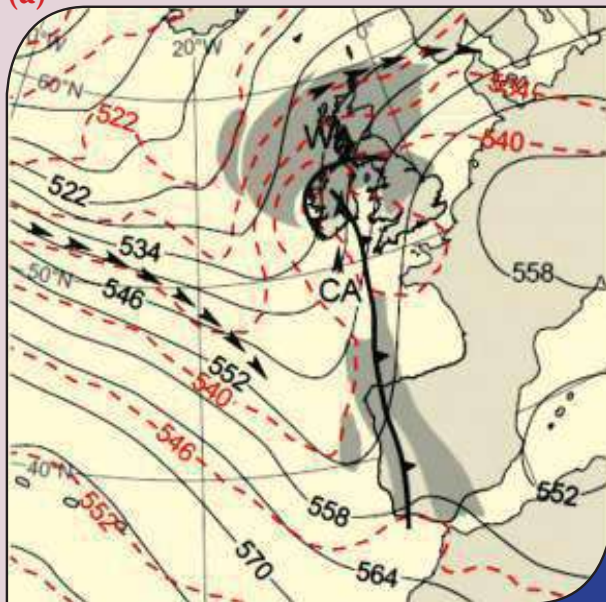
(a) صورة الأشعة تحت الحمراء من NOAA ساعة 09:16 ت.ع ليوم 18 يناير 1988. F هي السحابة الرئيسية للجبهة.  
 (b) خريطة طبقات الجو العليا توقيت 09:00 ت.ع. يتضح فيها خطوط الارتفاعات 500 هـ.ب (خطوط سوداء متصله، بوحدة gpm). خطوط سمك الطبقة من 500-1000 هـ.ب (خطوط حمراء متقطعة، بوحدة gpm). ومحور التيار الهوائى النفاث (أسهم سوداء).  
 (c) تحليل خطوط تساوى الضغط السطحيه، بوحدة هـ.ب، فى وقت 09:00 ت.ع.  
 (d) متوسط السرعة الرأسية بين 900 و 300 هـ.ب (بوحدة هـ.ب/س) عند الساعة 0900 ت.ع. الخطوط المتصلة تمثل الصعود والخطوط المتقطعة تمثل الهبوط، يشير التظليل الى الرطوبة النسبية < 90% من مخرجات النماذج العديده.



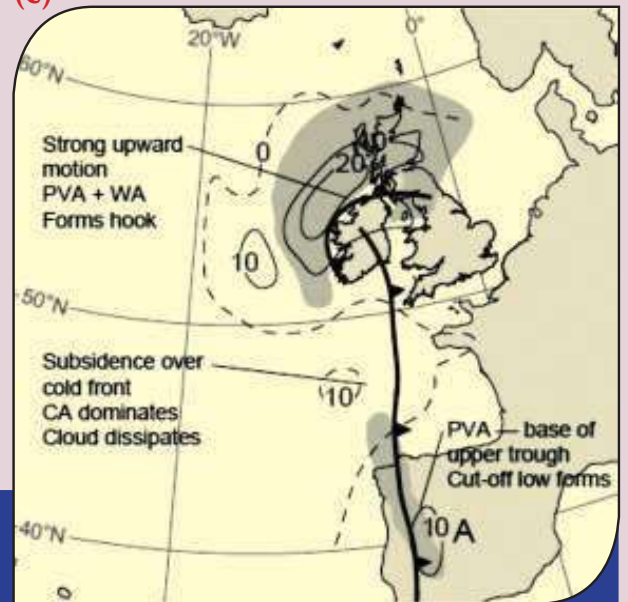
(a)



(c)



(b)



(d)

شكل - 4:

(a) صورة الأشعة تحت الحمراء من NOAA ساعة 09:16 ت.ع ليوم 19 يناير 1988. هي السحابة الرئيسية للجبهة.

(b) خريطة طبقات الجو العليا توقيت 04:20 ت.ع، يتضح فيها خطوط الارتفاعات 500 ه.ب (خطوط سوداء متصله، بوحدة gpm)، خطوط سمك الطبقة من 500-1000 ه.ب (خطوط حمراء متقطعة، بوحدة gpm)، ومحور التيار الهوائى النفاث (أسهم سوداء).

(c) تحليل خطوط تساوى الضغط السطحيه، بوحدة ه.ب، فى وقت 03:00 ت.ع.

(d) متوسط السرعة الرأسية بين 900 و 300 ه.ب (بوحدة ه.ب/س) عند الساعة 03:00 ت.ع، الخطوط المتصلة تمثل الصعود والخطوط المتقطعة تمثل الهبوط. يشير التظليل الى الرطوبة النسبية 90% من مخرجات النماذج العددية.



تؤدي بدورها بظهور حالة جبهه مختلفه والمصاحبة لتولد المنخفضات بصورة مختلفة عما سبق شرحه سابقاً.

■ تتحرك السحابة العلوية بسرعة، أمام منطقة الجبهه على السطح، مع الرياح العلوية الشديدة، والتي تُنتج جبهة منقسمة Split Front.

■ عادةً لا يظهر الجزء الداخلي من الجبهه المنقسمة على خرائط توزيعات الضغط السطحية، المتكون من السحابة «F» والحزام الهوائي النقال  $W_1$  المدعم للسحابة «F» من الممكن أن يتكون من ظواهر جوية على مستويات أعلى من السطح مما يؤدي لظهور السحابة «F».

■ أثناء تكون وتطور تولد المنخفضات في تلك الحالة، وعلى يمين مقدمة التيار الهوائي النفاث، تتولد حركة دوامية سالبة «NVA» والتي بدورها تولد تيارات هابطة مما يؤدي الى انقسام السحابة «F» إلى جزئين، جزء يكون مع الجبهة والجزء الآخر يتدفق مع الترف المفلطح في مؤخرة الجبهة.

### مثال - f:

في هذه الحالة تكون الحافة من جهة القطب للسحابة «F» غير واضحة بشكل جيد عن الحالات المناقشة سابقاً، شكل (6 - a). الصورة توضح أن السحابة «E» والتي تكون قممها أدفاً نسبياً من السحابة «F»، تصبح ممتدة بوضوح كلما تقدمت الحالة تباعاً، أشكال (7 - a) و (8 - a). يمكن رسم حالتين من أنظمة الجبهات في تلك الحالة، أشكال من (6 - c) الى (8 - c)، حيث التباين الحراري يكون كبيراً من جهة القطب من نظام الجبهة.

من الملاحظ أن التباين الحراري يزداد بالقرب من السحابة «E» ويضعف بصورة كبيرة في جنوب سحابة الكما «Comma cloud» في مكان هبوط الهواء من الغزو الهوائي البارد «CA» والذي يتسبب في تلاشي السحابة، مخلفاً وراءه شريط ضيق من السحب ذات القمم الدافئه تكون واضحة في نهاية الجبهه الباردة، شكل (4 - a). في منطقة السحب P، شكل (4 - a)، بالقرب من نهاية الترف العلوي، توجد حركة دورانية موجبة قويه والتي تقود عملية الصعود، الموضع A في شكل (4 - d). وفي نهاية المطاف هذا الوضع يؤدي الى تكون منخفض جوي سطحي مقطوع من المنخفض الأساسي، شكل (4 - c).

### ب- تولد منخفضات من الترف المفلطح،

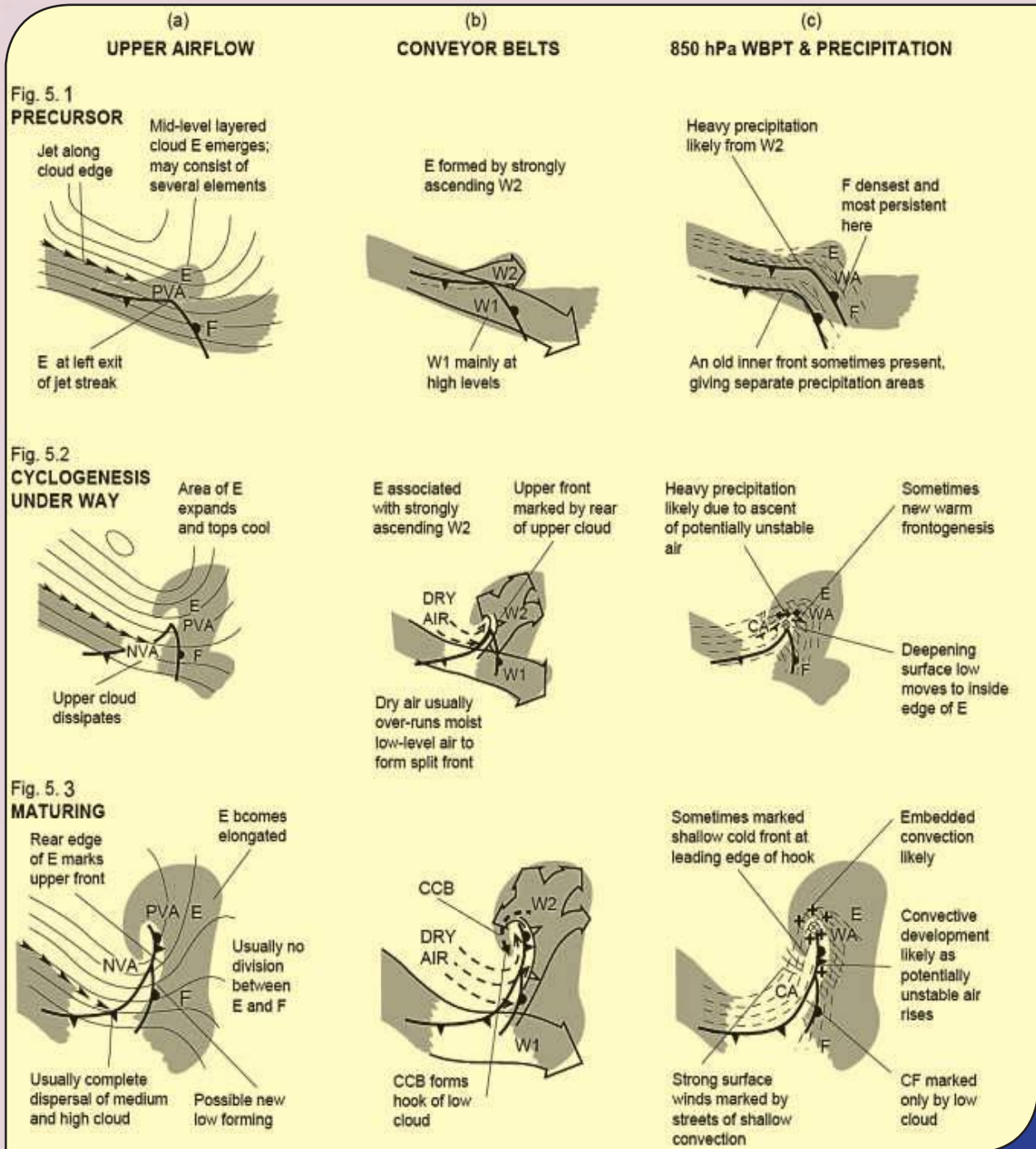
#### التدفق المتشتت

Flat trough, diffluent flow:

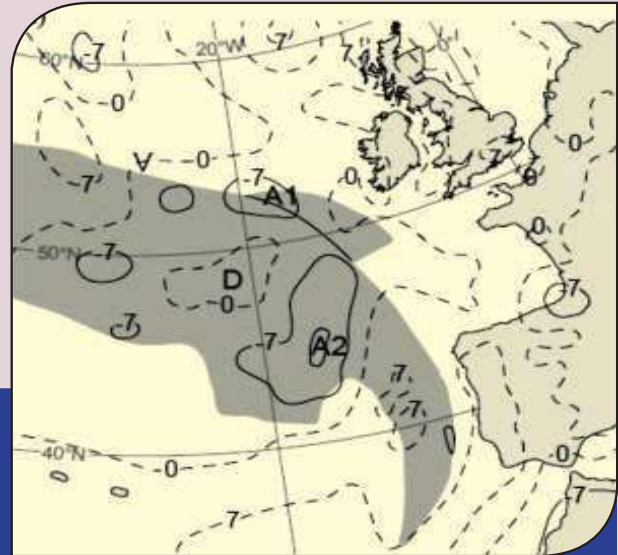
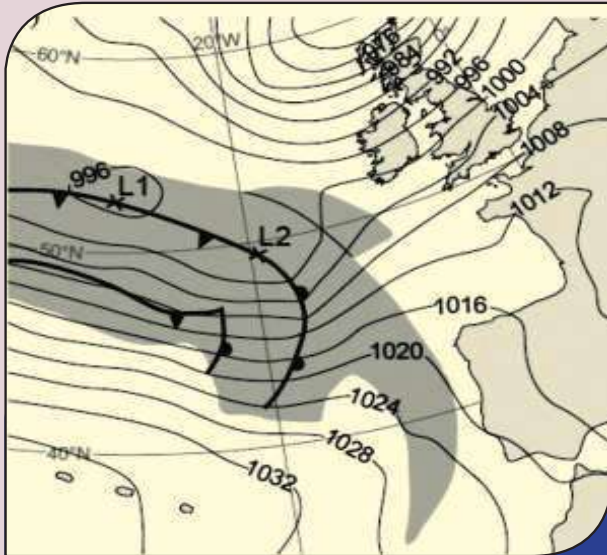
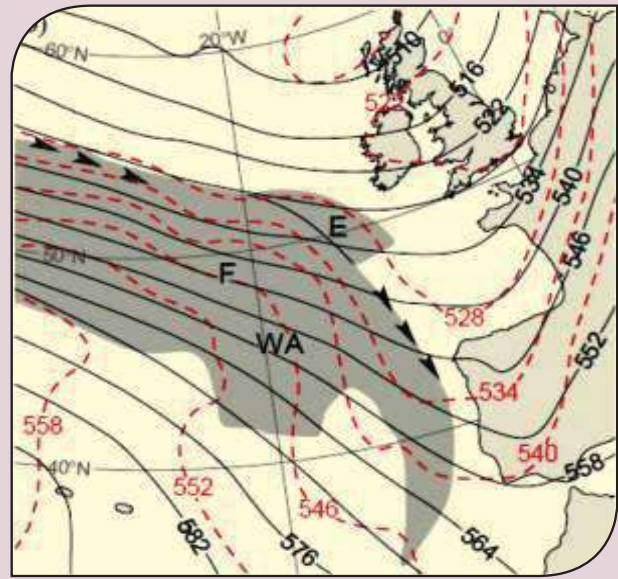
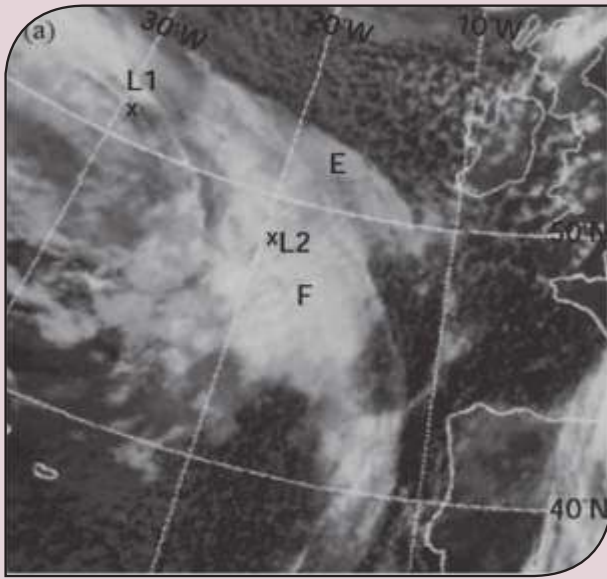
مفتاح تولد المنخفضات من الترف المفلطح أو التدفق المتشتت هو الحركة الصاعدة على يسار مقدمة التيار الهوائي النفاث والذي يأخذ الشكل شبه المستقيم أو المفلطح والمصاحب للترف العلوي، أشكال (5 - 1 الى 5 - 3). المواصفات الرئيسية لتلك الحالة يمكن توضيحها كالآتي:

■ تبدأ السحابة «F» بشكل شبه مستقيم وليست على شكل حرف «S»، أول اشارة لتولد المنخفضات في تلك الحالة هو ظهور السحابة «E» من الجبهه الباردة من السحابة «F».

■ تبدأ السحابة «E» المدعمة من الحزام الهوائي النقال  $W_2$ ، في أن تصبح أكثر امتداداً بزاوية عمودية على تدفق الهواء العلوي المصاحب لمقدمة التيار النفاث من جهة اليسار، والتي



(شكل - 5): مخطط لتولد منخفضات العروض الوسطى من الترف المفطوح والتدفق المتشبت .  
 (a) نمط التدفق العلوي على 300 هـ.ب ومخطط السحاب الرئيسي للجبهة كما هو ظاهر على صور الأشعة تحت الحمراء IR .  
 (b) نموذج للتدفق الهوائي عن طريق الحزام النقال  $W_1$  &  $W_2$   
 (c) خطوط  $O_w$  على 850 هـ.ب وأماكن هطول الأمطار. شكل 5 - 1 مرحلة ما قبل تكون المنخفض. شكل 5 - 2 مرحلة أثناء تكون المنخفض. شكل 5 - 3 مرحلة تطور المنخفض.



شكل - 6:

(a) صورة الأشعة تحت الحمراء من متيوسات ساعة 09:00 ت.ع ليوم 23 فبراير 1989. F هي سحابة الجبهة. E هي سحابة أقل ارتفاعاً بدأت للتو في الظهور من الجانب الشرقي من السحابة LX. F تشير إلى مركز المنخفض الجوي على السطح.

(b) خريطة طبقات الجو العليا في نفس التوقيت. يتضح فيها خطوط الارتفاعات على 500 هـ.ب (خطوط سوداء متصله ، بوحدة gpm) ، خطوط سمك الطبقة من 500-1000 هـ.ب (خطوط حمراء متقطعة ، بوحدة gpm) ، ومحور التيار الهوائي النفاث (أسهم سوداء).

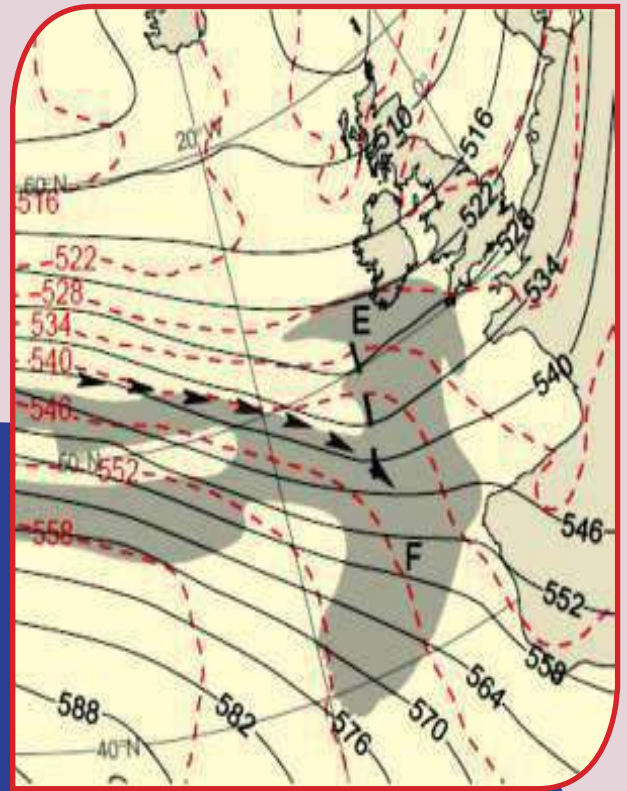
(c) تحليل خطوط تساوي الضغط السطحيه، بوحدة هـ.ب في نفس التوقيت، L1 و L2 هي مراكز منخفضات على السطح.

(d) متوسط السرعة الرأسية على 900 هـ.ب (بوحدة هـ.ب/س) عند الساعة 03:00 ت.ع. الخطوط المتصلة تمثل الصعود والخطوط المتقطعة تمثل الهبوط A1 و A2 تمثل مناطق الصعود القوية (القيم السالبة). D تمثل مناطق الهبوط، و V تمثل الدورانية العظمي.

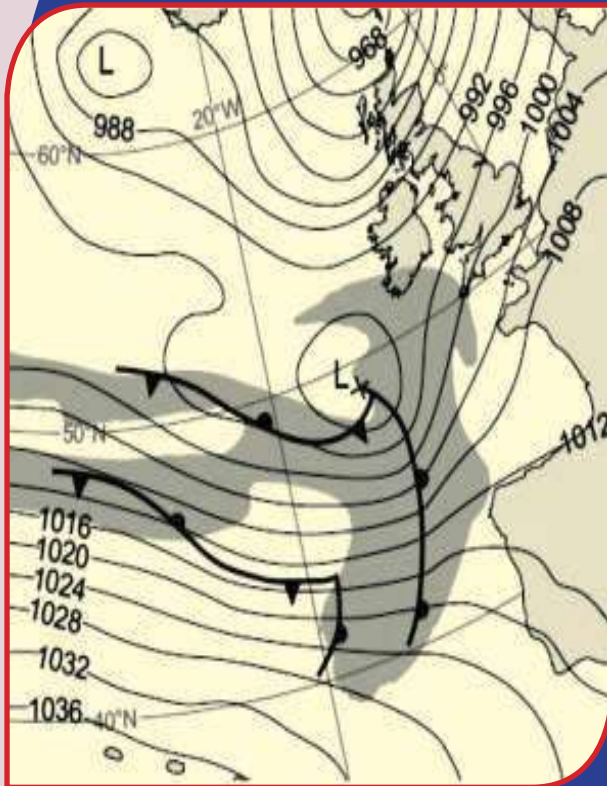




(a)



(c)



(b)

### شكل - 7:

(a) صورة الأشعة تحت الحمراء من NOAA 11 ساعة 14:38 ت.ع ليوم 23 فبراير 1989. F هي سحابة الجبهة. E هي سحابة أقل ارتفاعاً بدأت لتو في الظهور من الجانب الشرقي من السحابة F. L<sub>x</sub> تشير إلى مركز المنخفض الجوي على السطح. D هو أخدود من الهواء الجاف.

(b) خريطة طبقات الجو العليا في نفس التوقيت. يتضح فيها خطوط الارتفاعات 500 هـ.ب (خطوط سوداء متصله ، بوحدة gpm). خطوط سمك الطبقة من 500-1000 هـ.ب (خطوط حمراء متقطعة ، بوحدة gpm). ومحور التيار الهوائي النفاث (أسهم سوداء).

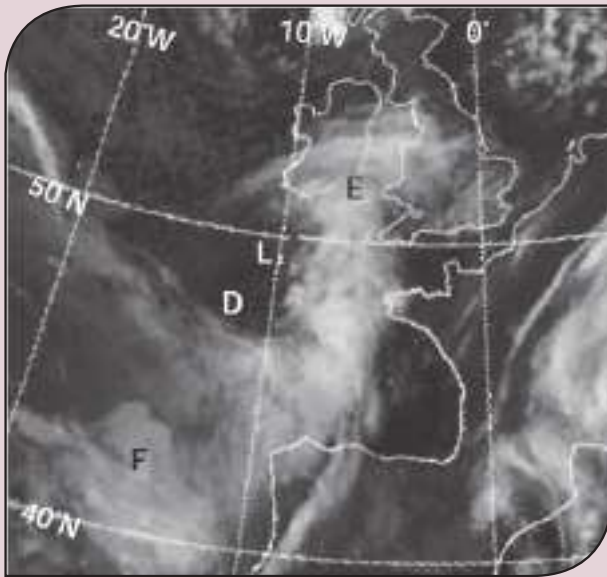
(c) خليل خطوط تساوي الضغط

السطحية بوحدة هـ.ب توقيت

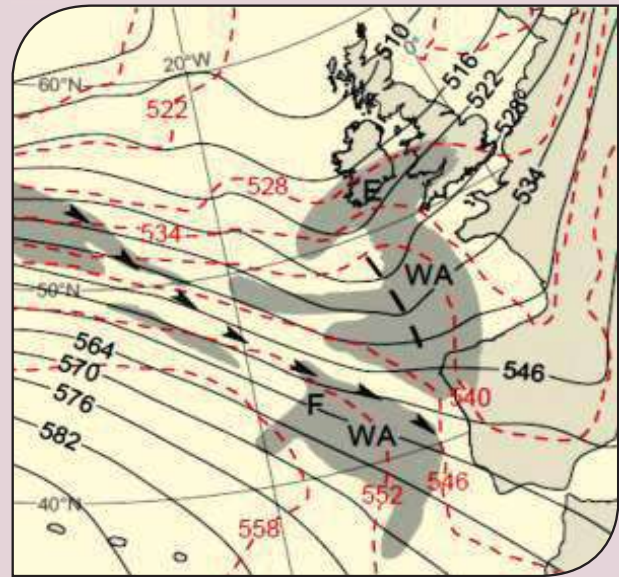
15:00 ت.ع. L<sub>1</sub> و L<sub>2</sub> هي

مراكز منخفضة على

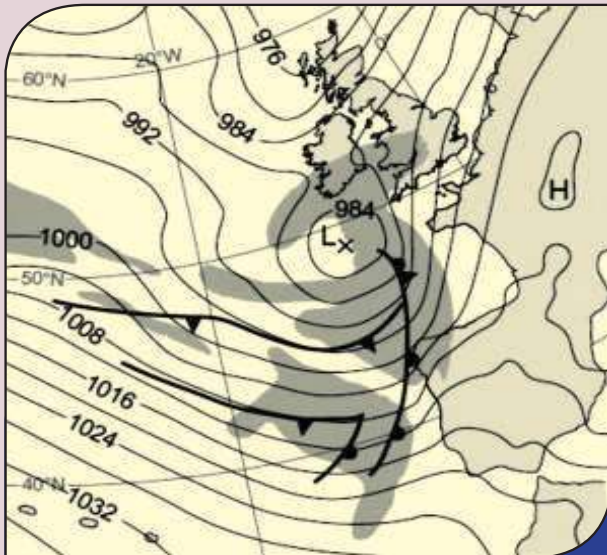
السطح.



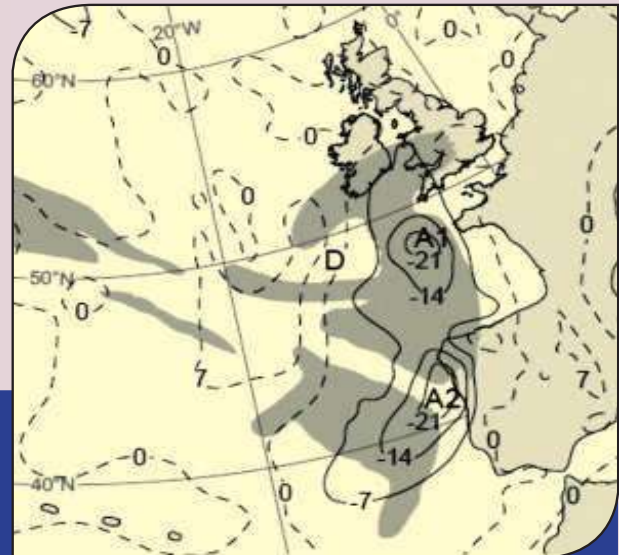
(a)



(b)



(c)



(d)

شكل - 8:

(a) صورة الأشعة تحت الحمراء من متيوسات ساعة 21:00 ت.ع ليوم 23 فبراير 1989. F هي سحابة الجبهة، E هي سحابة أقل ارتفاعاً بدأت للتو في الظهور من الجانب الشرقي من السحابة Lx. F تشير إلى مركز المنخفض الجوي على السطح.

(b) خريطة طبقات الجو العليا في نفس التوقيت. يتضح فيها خطوط الارتفاعات 500 هـ.ب (خطوط سوداء متصلة، بوحدة gpm). خطوط سمك الطبقة من 500-1000 هـ.ب (خطوط حمراء متقطعة، بوحدة gpm). ومحور التيار الهوائى النفاث (أسهم سوداء).

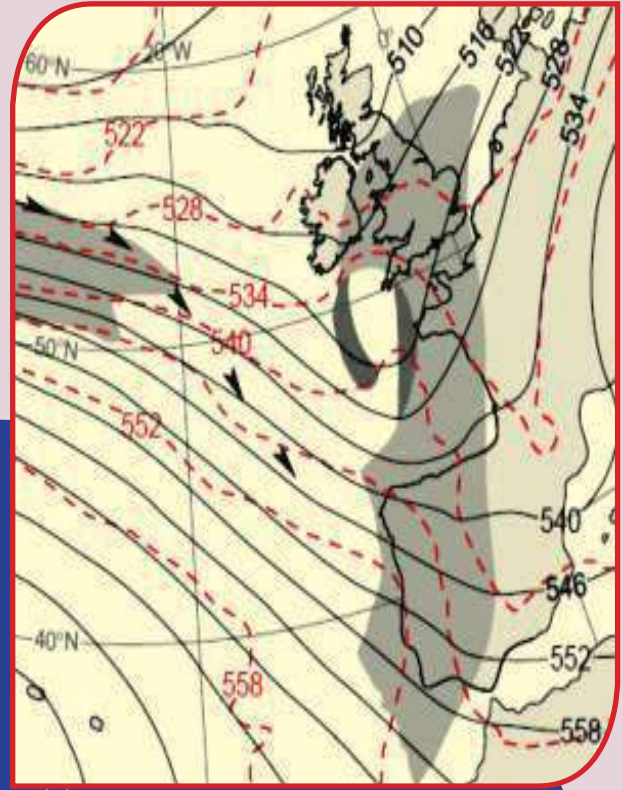
(c) تحليل خطوط تساوى الضغط السطحية، بوحدة هـ.ب في نفس التوقيت.  $L_1$  و  $L_2$  هي مراكز منخفضات على السطح.

(d) متوسط السرعة الرأسية على 900 هـ.ب (بوحدة هـ.ب/س) عند الساعة 21:00 ت.ع. الخطوط المتصلة تمثل الصعود والخطوط المتقطعة تمثل الهبوط.  $A_1$  و  $A_2$  تمثل مناطق الصعود القوية (القيم السالبة). D تمثل مناطق الهبوط. و V تمثل الدورانية العظمى.

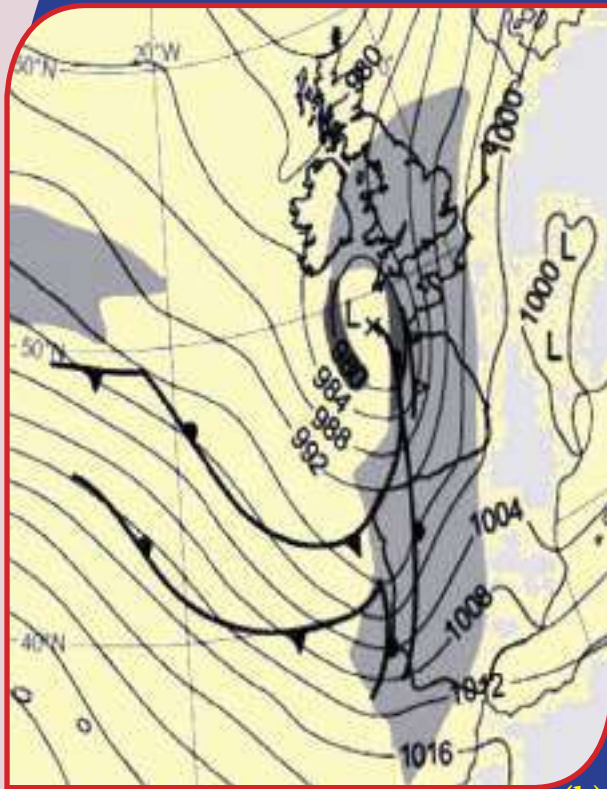




(a)



(c)



(b)

### شكل - 9:

(a) صورة الأشعة تحت الحمراء من NOAA 11 ساعة 02:52 ت.ع ليوم 24 فبراير 1989. هي سحابة الجبهة E هي سحابة أقل ارتفاعاً بدأت لتو في الظهور من الجانب الشرقي من السحابة F. LX تشير الى مركز المنخفض الجوي على السطح. S تكون موضع الجبهة المنقسمة. CON يشير الى السحب الحملية. (b) خريطة طبقات الجو العليا ساعة 03:00. يتضح فيها خطوط الارتفاعات 500 هـ.ب (خطوط سوداء متصلة بوحدة gpm). خطوط سمك الطبقة من 500-1000 هـ.ب (خطوط حمراء متقطعة بوحدة gpm). والتظليل الغامق يشير الى السحب ذات القمم المنخفضة. (c) تحليل خطوط تساوي الضغط السطحيه. بوحدة هـ.ب توقيت 03:00 ت.ع يوم 24 فبراير 1989. L1 و L2 هي مراكز منخفضات على السطح.

يمكن الإشارة إلى نقاط أخرى:

■ يتطور مركز المنخفض الجوي الضحل على السطح L2

(أشكال 6 - c ، a) ، المصاحبة للسحابة «E».

■ تتلاشى أجزاء كثيرة من السحابة «F» خلف السحابة

«E» في المستويات المتوسطة والعالية، (أشكال 7 -

8 (a)).

■ يقع مركز المنخفض تحت قمم السحب الدافئة

لمؤخرة السحابة «E»، (أشكال 7 - 8 (a)).

■ بينما تمتد السحابة «E»، يتحرك المنخفض من

أسفل التدفق العلوي الشديد وتقل سرعته.

■ في المراحل المتأخرة من تولد المنخفضات من هذا

النوع، تنتشر قرب مركز المنخفض السطحى خلايا

من السحب الحملية العميقة (المشار إليها CON في

شكل 9 - a) تبعا لتخلل الهواء الجاف العلوى مكونة حالة من عدم الاستقرار.

■ تتكون جبهة منقسمة بالقرب من حرف S- (شكل 9 - c ، a).

### مثال - ٢:

يوضح شكل (10 - e : a) انتشار السحابة E- على

المحيط الهادئ من 28 - 30 نوفمبر 1987. يبدأ تولد

المنخفض سريعا ساعة 00:00 ت.ع ليوم 29 نوفمبر

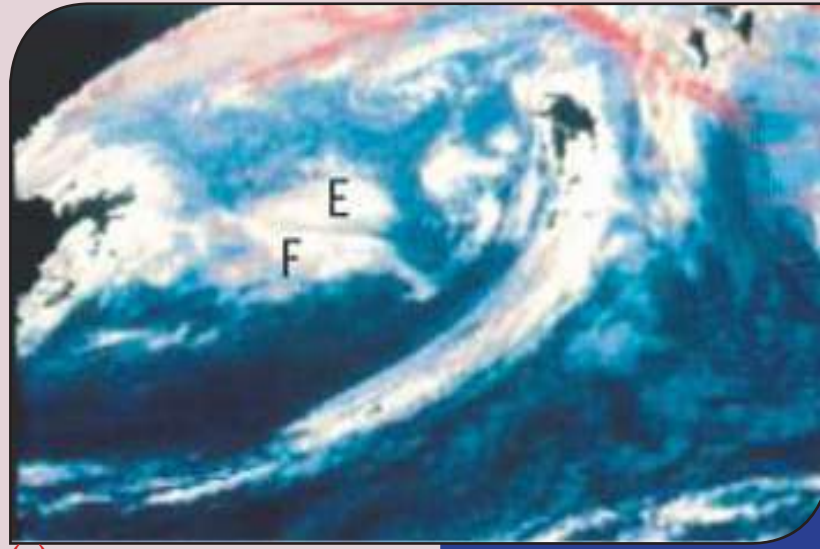
عندما كان مركز المنخفض الجوي 1008 ه.ب. خلال

24 ساعة مركز المنخفض قل بمقدار 30 ه.ب.

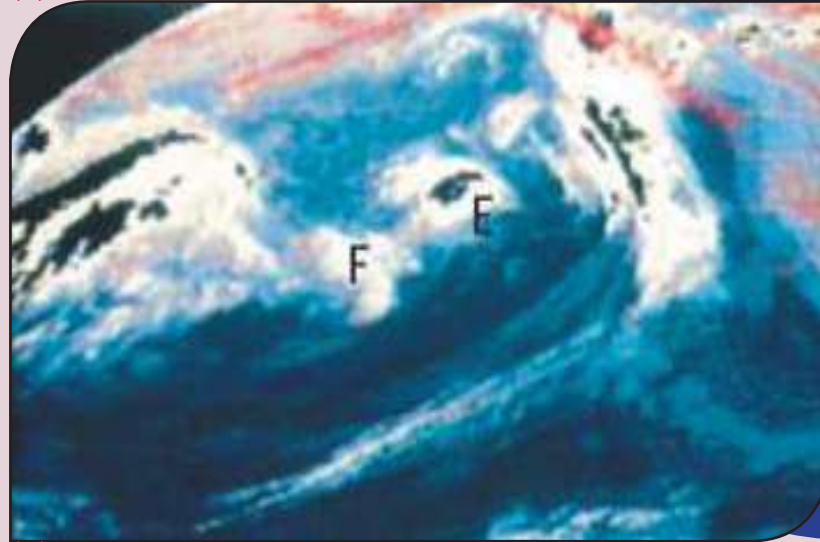
الرصدات السطحية كانت قليلة، لكن أخذت تقارير

من قارين وسجلت الرياح 55 عقدة في وجود دوامة

عنيفة.



(a)



(b)

### شكل - 10

صور الأسعة تحت

الجمراء من GOES

يوضح تولد المنخفض مع

الترف المفلطح و التدفق

المتشنت فوق المحيط الهادئ

من 28 - 30 نوفمبر 1987.

(a) 23:45 ت.ع ليوم 28.

(b) 07:45 ت.ع ليوم 29.

(c) 13:45 ت.ع ليوم 29.

(d) 19:45 ت.ع ليوم

29.

(e) 02:45 ت.ع

ليوم 30.



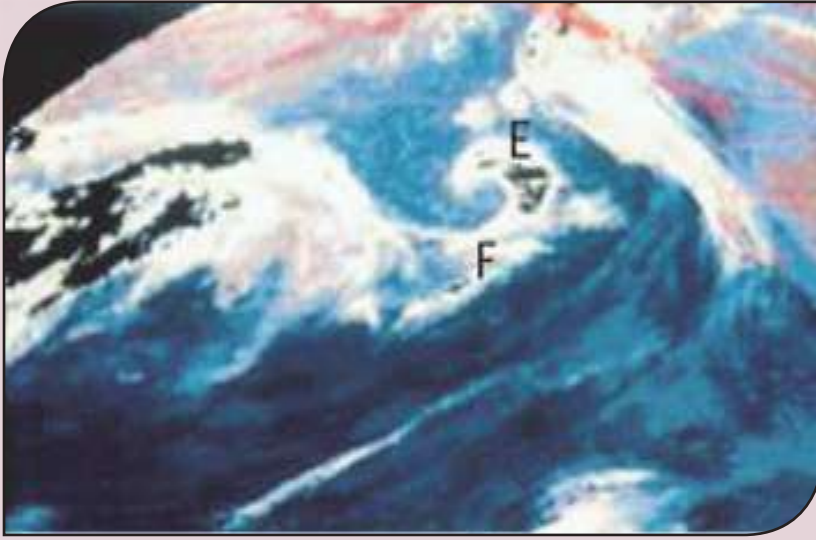
## المراجع:

M. J. Bader, G. S. Forbes, J. R. Grant, R. B. E. Lilley, A. J. Waters. (1995): Images in weather forecasting. -A practical guide for interpreting satellite and radar imagery-. Great Britain the University Press, Cambridge.

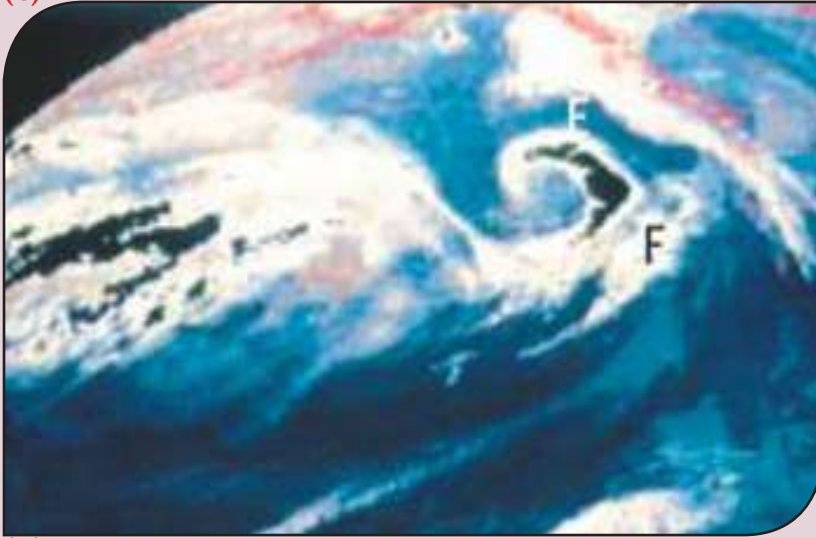
Marshall, T. A. (1982) Weather Satellite Picture Interpretation (London, Directorate of Naval Oceanography and Meteorology, Ministry of Defense).

McLennan, N. and L. Neil (1988): Marine bombs program (phase II). Pacific Region tech. note 88002-.

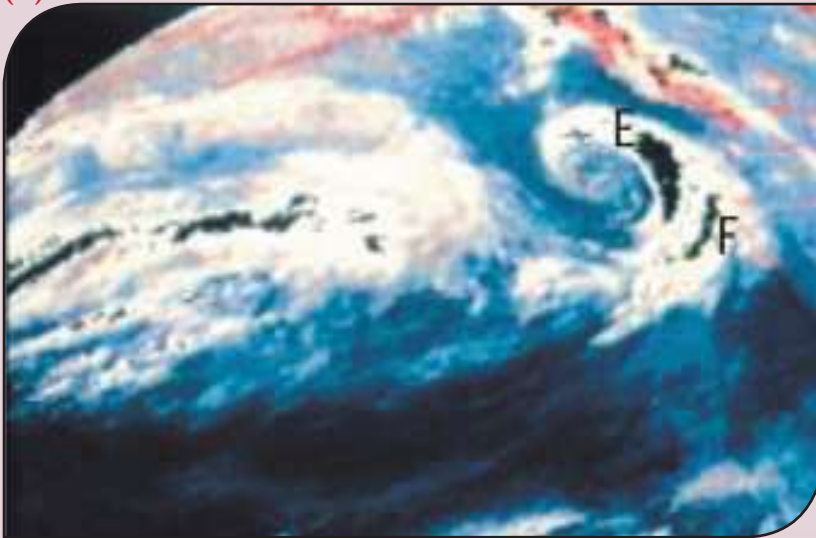
Young, M. V. (1993): Cyclogenesis: interpretation of satellite and radar images for the forecaster. Forecasting Research division tech. report 73 (Bracknell, UK, Meteorological Office), unpublished.



(c)



(d)



(e)